

## PAPER DETAILS

TITLE: Bazi K ve Ca Bilesikleri İçin Kütle Sogurma Katsayisi, Toplam Elektronik Tesir Kesiti, Toplam Atomik Tesir Kesiti, Etkin Atom Numarasi, Etkin Elektron Yogunlugu ve Kerma Ölçümü

AUTHORS: Saniye TEKEREK

PAGES: 1536-1546

ORIGINAL PDF URL: <https://dergipark.org.tr/tr/download/article-file/1530441>



# Düzce Üniversitesi Bilim ve Teknoloji Dergisi

Araştırma Makalesi

## Bazı K ve Ca Bileşikleri İçin Kütle Zayıflatma Katsayısı, Toplam Elektronik Tesir Kesiti, Toplam Atomik Tesir Kesiti, Etkin Atom Numarası, Etkin Elektron Yoğunluğu ve Kerma Ölçümü

 Saniye TEKEREK

<sup>a</sup> Kahramanmaraş Sütçü İmam Üniversitesi, Fen-Edebiyat Fakültesi, Fizik Bölümü, Türkiye, TÜRKİYE

\* Sorumlu yazarın e-posta adresi: [sanivetekerek@ksu.edu.tr](mailto:sanivetekerek@ksu.edu.tr)

DOI: 10.29130/dubited.867478

### Öz

Bu makalede bazı K ve Ca bileşiklerinin deneyel ve teorik kütle zayıflatma katsayısı geçirgenlik yöntemi kullanılarak hesaplanmıştır. Ayrıca hesaplanan kütle zayıflatma katsayısı verileri kullanılarak toplam elektronik tesir kesiti, atomik tesir kesiti, etkin atom numarası, etkin elektron yoğunluğu ve Kerma parametreleri elde edildi. Bu radyasyon zayıflatma parametreleri dar ışın deney geometrisi kullanarak elde edildi. Bu çalışmada ölçümler Am-241 kaynağından 59.543 keV'de yüksek çözünürlüklü bir Si (Li) detektörü kullanılarak yapılmıştır. Teorik kütle zayıflatma katsayısı WinXCOM data programı ile hesaplanmıştır. Mevcut çalışma, seçilen bileşiklerin gama zayıflatma özelliklerini içermektedir. Gama zayıflatma parametreleri, seçilen tüm bileşikler için ayrıntılı olarak incelenmiştir.

**Anahtar Kelimeler:** Kütle zayıflatma Katsayısı, Etkin atom numarası, Elektron yoğunluğu, Kerma

## Measurement of Mass Attenuation Coefficient, Total Electronic Cross-section, Total Atomic Cross-section, Effective Atomic Numbers, Effective Electron Densities and Kerma for Some K and Ca Compounds

### ABSTRACT

In this manuscript is calculated the experimental and theoretical mass attenuation coefficient some K and Ca compounds by using transmission method. Also the total electronic cross section, atomic cross section, effective atomic number, effective electron density and Kerma parameters were obtained using the calculated mass attenuation coefficient data. These radiaton attenuation parameters were obtained using the values calculated attenuation with the narrow beam experimental geometry. In this study, measurements were made using a high resolution Si (Li) detector at 59,543 keV from the Am-241 source. The theoretical mass attenuation coefficient were calculated from the WinXCOM data programme. The current study involves the gamma attenuation properties of selected compounds. The gamma attenuation parameters are studied in detail for all selected compounds.

**Keywords:** Mass attenuationco efficient, Effective atomic number, Electron densitiy, Kerma

## I. GİRİŞ

Nükleer teknolojideki gelişmeler sonucunda çekirdek kaynaklı veya çekirdek kaynaklı olmayan radyasyonların kullanımları geniş bir alana yayılmıştır. Nükleer enerjinin çeşitli alanlarda reaktörlerde, hastanelerin radyasyon onkolojisi ve radyoloji bölümlerinde, nükleer savaş tehlikesine karşı sığınaklarda, radyoaktif atıkların saklanması, radyasyon ve radyasyondan korunma olayları oldukça önem kazanmıştır. Radyoaktif işinler ve parçacıklar dokuya zarar verir ve kanserojen etki gösterirler. Radyasyona maruz kalan ve radyasyonlu ortamda çalışan personelin korunması amacıyla çeşitli korunma yöntemleri kullanılmaktadır. Radyasyon zırhlama radyoloji, onkoloji, nükleer görüntüleme, nükleer santraller gibi birçok alanda kullanılan korunma yöntemlerinden biridir.

Onkoloji, koruyucu tip, gama ışını fluoresans çalışmaları ve tomografi uygulamalarından dolayı kütle zayıflatma katsayıları, toplam atomik ve elektronik tesir kesitleri, etkin atom numarası ve etkin elektron yoğunlıklarının teorik sonuçlarının yanı sıra deneysel değerlerinin tespit edilmesi kritik öneme sahiptir. Etkin atom numarası ve elektron yoğunluğu gibi foton etkileşim parametrelerinin doğru değerleri, medikal fizikte düzeltme değeri olarak ve hedef materyalle foton etkileşimi hakkında kesin bilgi vermek için gereklidir [1]. Bilgisayarlı tomografi (CT) tarayıcılarında yüksek çözünürlüklü görüntüler elde etmek için etkin atom numarası ve etkin elektron yoğunlukları bilgisi gereklidir [2]. Son yıllarda radyoterapi uygulamalarında ve medikal görüntülemede elektron yoğunluğunun kullanımı ile ilgili bazı çalışmalar yapılmıştır [3,4].

Yüksek enerjili fotonun soğurulması olayı etkileşime girilen malzemenin yoğunluk ve atomik özellikleri ile ilgilidir. Gama ışını koruma etkisi, malzemelerin fiziksel özellikleri, kütle zayıflatma katsayıları, atomik ve elektronik tesir kesitleri, etkin atom ve elektron yoğunlıklarının bilinmesiyle mümkün olmaktadır [5].

Radyasyon maddeyle etkileşime girdiğinde malzemede bazı değişikliklere sebep olabilir. Etkileşim sonucunda malzemenin özelliğine göre radyasyonun enerjisinde azalma söz konusu olabilmektedir. Zırhlama olayında alternatif maddelerin incelenmesi gerekmektedir. Radyasyon zırhlama maddesi olarak kullanılan farklı madde ve bileşiklerin kütle zayıflatma katsayılarının hesaplanması bu malzemelerin radyasyona karşı koruyucu zırh olup olamayacağı hakkında ön bilgi vermektedir. Malzemelerin birbiri ile karşılaştırılması için kütle zayıflatma katsayısı bilgisinin kullanılması uygun bulunmaktadır [6].

Teknolojik ve tıbbi uygulamalarda kimyasal element ve bileşik malzemelerin radyasyon tepkisini karakterize etmek için etkin atom numarası parametresinin bilinmesi gerekmektedir. Radyoterapi ve dozimetri için sağlanan doz ile birlikte tıbbi görüntülemede gelen radyasyon şiddetinin azalması dikkate alınmaktadır. Bileşik gibi çoklu element yapıdaki malzemelerin kütle zayıflatma katsayısı, etkin atom numarası gibi atomik büyülügün ölçümü, uzay fizигinde, astronomide, nükleer fizikte, nükleer silah yapımında, jeolojide, plazma fizигinde, uydu yapımında ve pek çok diğer radyasyon uygulamalarında önemlidir. Kütle zayıflatma katsayısının hesaplanması materyal kalınlığını belirlemek içinde kullanılan bir yöntemdir [5].

Hedef canlıya verilecek tedavi edici radyasyon dozunun hesaplanması, ortam içinde ilerlemesinin tanımlanmasında kütle zayıflatma katsayısı en önemli parametrelerden biridir. Literatürde bu parametrenin belirlenmesi için çok sayıda çalışma yapılmıştır [7-10]. Bazı organik ve inorganik maddelerin, canlı dokuların, alaşımaların, polimerlerin, camların, çeşitli bileşiklerin radyasyon zayıflatma özellikleri kütle zayıflatma katsayıları, etkin atom ve elektron numaraları deneyel ve teorik olarak hesaplanmıştır [13-23]. keV düzeyindeki fotonlar radyasyon biyolojisinde, tıbbi teşhis ve tedavide kullanıldıkları için araştırılması gereklidir [11]. Etkin atom numarası ( $Z_{eff}$ ) ilgilenilen enerji için bir element yerine bir kompozit malzeme seçilerek alternatif malzeme kullanımı için olanak sağlanmaktadır [12].

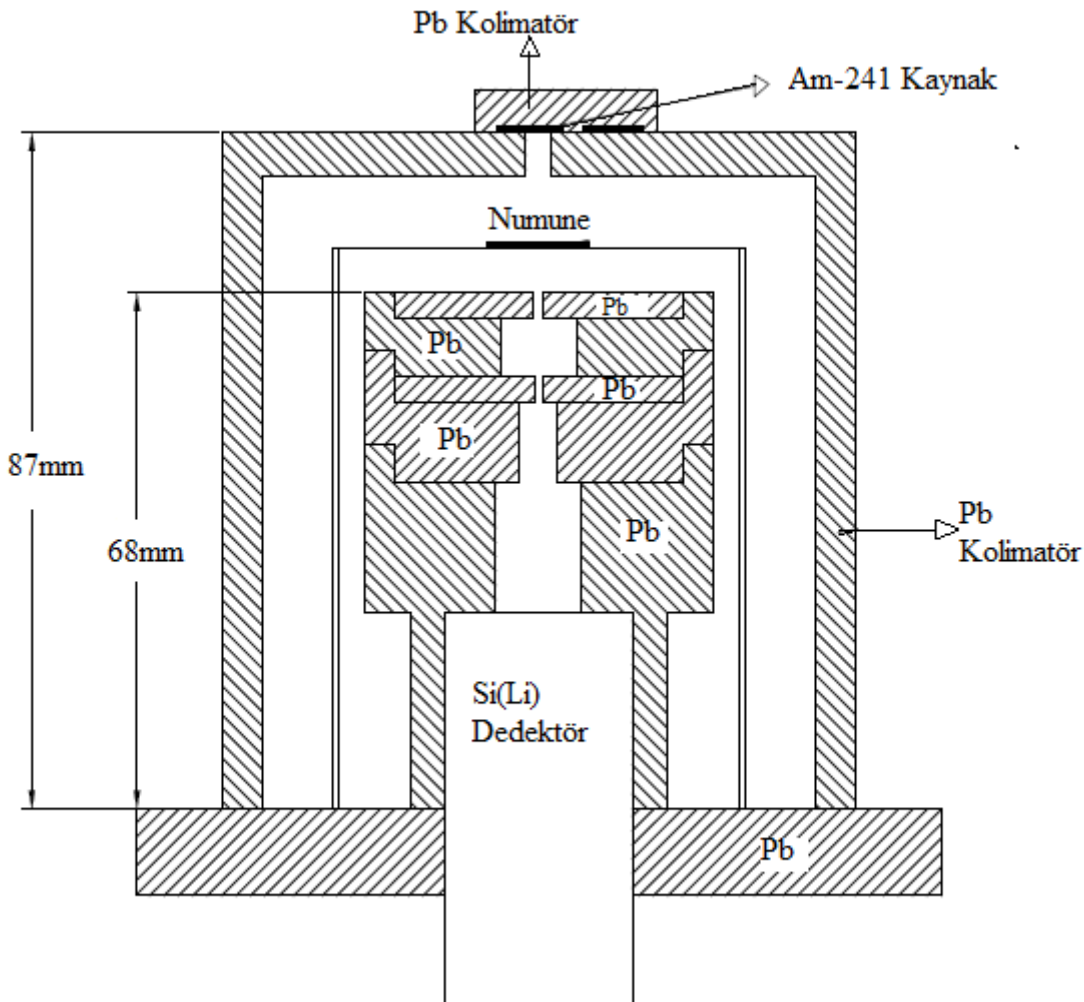
Bu çalışmada çeşitli açılardan önemli olan bazı bileşiklerin toplam atomik tesir kesiti, toplam moleküler tesir kesiti, elektronik tesir kesiti, etkin atom numarası, etkin elektron yoğunluğu ve Kerma değerleri 59,543 keV enerji de deneysel ve teorik olarak incelenmiştir. Bu çalışmada kullanılan çoklu element maddeleri K ve Ca elementlerinin bazı bileşiklerinden oluşmaktadır.

## **II. MATERİYEL VE METOD**

Organizmanın normal fizyolojik fonksiyonlarını yerine getirebilmesi için gerekli olan K ve Ca elementleri esansiyel elementler olarak adlandırılırlar. Esansiyel elementler olmadan organizma yaşam döngüsünü tamamlayamaz veya normal gelişimini gerçekleştiremez [24]. K ve Ca esansiyel elementleri oksijen taşınması, hormonal aktivitelerin düzenlenmesi, serbest radikallerin etkisiz hale getirilmesi gibi birçok önemli biyolojik fonksiyonun gerçekleştirilemesinde rol oynamaktadır [25]. Alkali metal olan K, toprak alkali metal olan Ca elementlerinin bazı bileşiklerinin etkin atom numaraları, gama ışını geçirgenlik spektrumlarının değerlendirilmesine dayalı olan bir metotla belirlenmiştir. Lineer zayıflatma katsayısı, kütle zayıflatma katsayısı, etkin atom numarası, etkin elektron yoğunluğu ve Kerma değerleri hesap edilirken bu yönteme ihtiyaç duyulmaktadır. Bu çalışmanın sonuçları farklı bileşiklerin atom ve elektron sayılarının, kütle zayıflatma katsayılarının molekül yapısına ve molekül ağırlığına göre nasıl değiştiğinin anlaşılmasına olanak sağlamaktadır.

Bu çalışmada örneklerin radyasyon zayıflatma özelliklerinin incelenmesi için Am-241 radyoizotop halka kaynağı kullanılmıştır. 200 mesh'lik elekle elenen örnekler Myler filme homojen bir şekilde dağıtılp ve Am-241 kaynaktan yayılan gama fotonun ne kadarını soğurduğunu tespit edebilmek için geçirgenlik deneyi yapılmıştır.

Bu makale çalışmasında kütle zayıflatma katsayıları ve etkin atom numarasının belirlenmesi için radyasyon zayıflatma ve geçirgenlik deney geometrisi kurulmuştur. Kütle zayıflatma katsayılarını ölçmek için kullanılan geçirgenlik deney geometrisi Şekil 1'de şematik olarak gösterilmiştir. Örnekten geçen ışınların dedektör tarafından net sayılabilmesi için uygun deney geometrisinin belirlenmesi çok önemlidir. Net siddette sayımlı elde edilmesini sağlamak için uyarıcı-malzeme, malzeme-sayaç arası uzaklıklar en iyi şekilde ayarlanmıştır. Kaynaktan gelen ışınlar uygun bir kolimatör kullanılarak paralel bir demet halinde dedektör penceresine düşecek şekilde kolime edilmiştir. 3 kısımdan oluşan Pb kolimatör uzunluğu 68 mm'dir. Radyoaktif kaynaktan yayılan radyasyondan korunmak için radyoaktif kaynak 4 cm kalınlıkta 87 mm uzunluğa sahip kurşun koruyucuya yerleştirilmiştir. Kurşun koruyucuya sabitlenmiş olan radyoaktif kaynak ve koruyucu kolimatör zırh dedektörü çevreleyeceğin genişliktedir.



*Sekil 1. Geçirgenlik deney geometrisinin şematik gösterimi*

İncelenen bileşikler enerjisi 59,543 keV olan Am-241 kaynak kullanılarak ölçümler alınmıştır. Bileşige gelen foton şiddeti ( $I$ ) ve bileşikten geçen foton şiddeti ( $I_0$ ) bileşigin absorbladığı foton şiddetinin hesaplanması için gerekli olan deneysel verilerdir. Malzemeden geçen ışınların şiddetinin sayılması için ayırma gücü 5,9 keV'de 155eV olan Si(Li) yarı iletken katıhal dedektörü kullanılmıştır.

#### A. GEÇİRGENLİK METODU İLE ETKİN ATOM NUMARASI VE ELEKTRON YOĞUNLUĞUNUN BULUNMASI

Geçirgenlik olayı foton enerjisine bağlı olarak gama ışınlarının madde ile etkileşmesi sonucunda maddedeki elementlere bağlı olarak etkin atom numarasını değişime uğratır [26]. Toplam kütte zayıflatma katsayısı Denklem (1) kullanılarak hesaplanmıştır.

$$\frac{\mu}{\rho} = \frac{\pi r^2}{m} \ln \left( \frac{I_0}{I} \right) \quad (1)$$

Denklem (1)'de yer alan, ( $I_0$ ) kaynaktan gelen foton şiddeti, ( $I$ ) bileşikten geçen foton şiddeti,  $\rho$  bileşik yoğunluğu,  $m$  kütle (g) ve  $r$  yarıçap (cm) dir.

Bileşikler için karışım kuralını kullanarak kütte zayıflatma katsayıları hesaplanır. Denklem (2) kullanılarak toplam atomik tesir kesiti ( $\sigma_{ta}$ ) hesaplanmıştır [27].

$$\sigma_{ta} = \frac{1}{N_A \sum n_i} \left( \frac{\mu}{\rho} \right) C \sum_i n_i A_i \quad (2)$$

$\sum_i n_i A_i$  molekül ağırlığı,  $A_i$  atom ağırlığı,  $n_i$  bileşiği oluşturan atomlarının sayısını,  $N_A$  Avogadro sayısıdır. Formül (2)'de  $\sigma_{ta}$  toplam atomik tesir kesiti,  $n_i$  bileşikteki toplam atom sayısıdır.

Bileşige ait toplam atomik tesir kesiti ve kütle zayıflatma katsayısı değerleri ile elektronik tesir kesiti belirlenmiştir. Toplam elektronik tesir kesiti ( $\sigma_{te}$ ) Formül (3) kullanılarak hesaplanmıştır [27].

$$\sigma_{te} = \frac{1}{N_A} \sum_i f_i \frac{A_i}{Z_i} \left( \frac{\mu}{\rho} \right)_i ; \quad f_i = \left( \frac{n_i}{\sum_i n_i} \right) \quad (3)$$

$A_i$  bileşiği oluşturan  $i$  elementin atom ağırlığı,  $Z_i$   $i$  elementinin atom numarası,  $f_i$   $i$  elementine ait bolluk kesridir.  $n_i$ ,  $i$  elementinin atom sayısı,  $\sum_i n_i$  toplam atom sayısıdır.

Toplam atomik tesir kesiti ve elektronik tesir kesitlerinin birbirine oranı etkin atom numarasıdır. Formül (4) kullanılarak etkin atom numarası ( $Z_{eff}$ ) hesap edilmiştir [28].

$$Z_{eff} = \frac{\sigma_{ta}}{\sigma_{te}} \quad (4)$$

Etkin elektron yoğunluğu ( $N_{eff}$ ) Formül (5) kullanılarak hesaplanmıştır [29].

$$N_{eff} = \frac{N_A n_{tot} Z_{eff}}{\sum_i n_i A_i} \quad (5)$$

Formül (5)'de  $\sum_i n_i A_i$  molekül ağırlığı,  $n_{tot}$  toplam atom sayısı,  $N_A$  Avogadro sayısı,  $Z_{eff}$  etkin atom numarasıdır.

Hava ortamında Kerma değeri Formül (6) kullanılarak hesaplanmıştır [30].

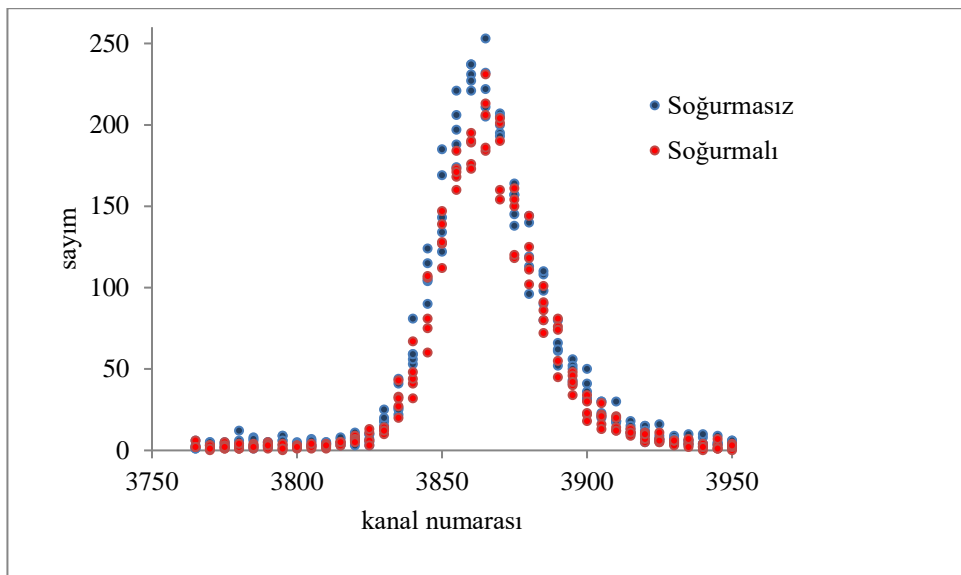
$$Kerma = \frac{(\mu/\rho)_{bil.}}{(\mu/\rho)_{hava}} \quad (6)$$

$(\mu/\rho)_{bil.}$  bileşik kütle zayıflatma katsayısı,  $(\mu/\rho)_{hava}$  hava kütle zayıflatma katsayısıdır.

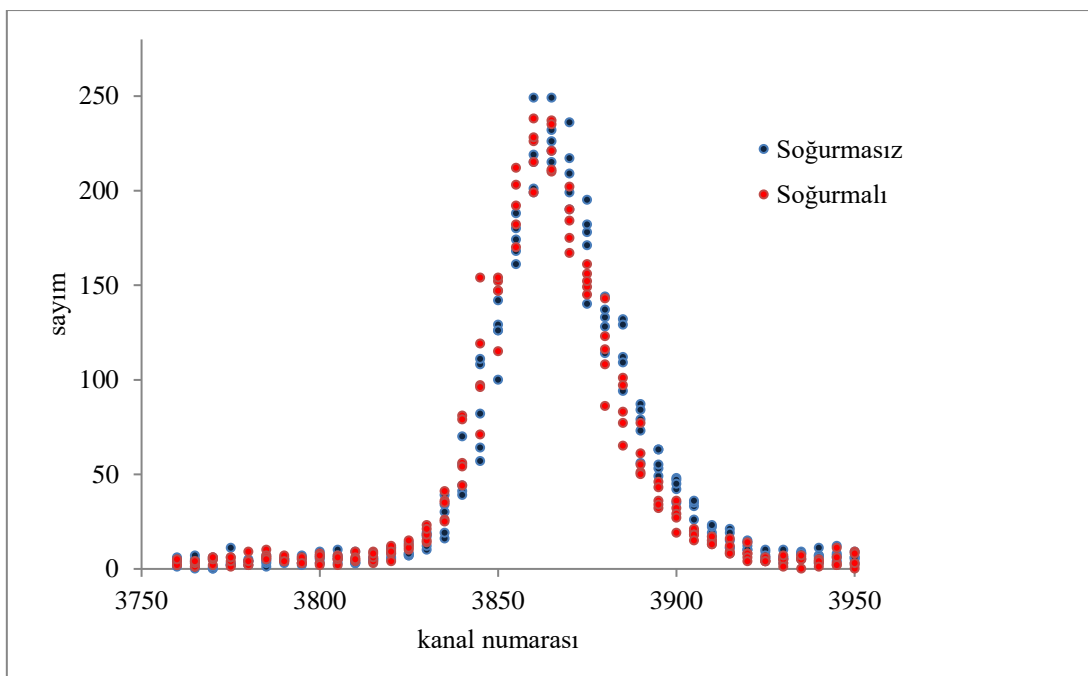
### **III. BULGULAR VE TARTIŞMA**

Bu çalışmada K ve Ca elementlerine ait bazı bileşikler için 59,543 keV enerjide kütle zayıflatma katsayıları deneyel yöntemlerle ölçülmüş ve hesaplanmıştır. Bileşiklerin kütle zayıflatma katsayılarının belirlenmesinde en önemli aşamalardan biri malzemelerin uygun deney geometrisinde radyasyon zayıflatma ölçümelerinin yapılmasıdır. Bu ölçümler, direkt geçirgenlik yöntemine göre geçirgenlik deney geometrisi kullanılarak yapılmıştır. Hesaplanan kütle zayıflatma katsayısı değerleri kullanılarak toplam moleküler, atomik, elektronik tesir kesiti, etkin atom numarası, etkin elektron yoğunluğu ve Kerma deneyel değerleri hesaplanmıştır. Bileşiklerin kütle zayıflatma katsayıları, toplam molekül, atomik ve elektronik tesir kesitleri, etkin atom numarası ve elektron yoğunluğu gibi parametrelerin bilinmesi onların karakteristik özelliklerinin anlaşılabilmesi için oldukça önemlidir. Bu atomik parametrelerin teorik değerlerinin hesaplanabilmesi için WinXCOM programı kullanılmıştır.

Bu program yardımıyla hesaplanan teorik değerler ile deneysel değerler kıyaslanmıştır. Deneysel ve teorik kütle zayıflatma katsayıları, atomik, moleküler ve elektronik tesir kesitleri, etkin atom numarası, bileşiklerin etkin elektron yoğunluğu ve Kerma sonuçları Tablo 1-6'da listelenmiştir. K ve Ca elementlerine ait bileşikler arasında en iyi kütle zayıflatma katsayısına sahip olan KF ve  $\text{CaCl}_2\cdot\text{H}_2\text{O}$  bileşигine ait radyasyon soğurmali ve soğurmasız şiddet grafikleri Şekil 2-3'de gösterilmiştir.



*Şekil 2.  $\text{CaCl}_2\cdot\text{H}_2\text{O}$  bileşigine ait soğurmali ve soğurmasız şiddet grafiği*



*Şekil 3. KF bileşigine ait soğurmali ve soğurmasız şiddet grafiği*

**Tablo 1.** K bileşikleri için Kütle zayıflatma katsayısı, Etkin atom numarasının deneysel ve teorik değerleri

Bileşik	$\mu/\rho$ (cm <sup>2</sup> /gr)		$Z_{\text{eff}}$	
	Deneysel	Teorik	Deneysel	Teorik
K	0,577		19	
KF	0,471	0,451	17,162	16,445
KSCN	0,414	0,415	14,754	14,811
K <sub>2</sub> CO <sub>3</sub>	0,395	0,408	14,078	14,560
K <sub>2</sub> S <sub>2</sub> O <sub>7</sub>	0,390	0,365	14,801	13,864
KNO <sub>3</sub>	0,331	0,339	6,669	6,840
KHSO <sub>4</sub>	0,305	0,355	10,737	12,482
KAl(SO <sub>4</sub> ) <sub>2</sub> .12H <sub>2</sub> O	0,296	0,264	7,226	6,447

**Tablo 2.** Ca bileşikleri için Kütle zayıflatma katsayısı, Etkin atom numarasının deneysel ve teorik değerleri

Bileşik	$\mu/\rho$ (cm <sup>2</sup> /gr)		$Z_{\text{eff}}$	
	Deneysel	Teorik	Deneysel	Teorik
Ca	0,669		20	
CaCl <sub>2</sub> .H <sub>2</sub> O	0,674	0,482	1,979	1,414
CaF <sub>2</sub>	0,328	0,437	11,908	15,843
CaSO <sub>4</sub> .2H <sub>2</sub> O	0,295	0,346	8,800	10,331
Ca(OH) <sub>2</sub>	0,272	0,453	7,298	12,165
Ca(Ph <sub>2</sub> O <sub>2</sub> ) <sub>2</sub>	0,248	0,366	7,488	11,030

**Tablo 3.** K bileşikleri için Toplam moleküler tesir kesiti, Toplam atomik tesir kesitinin deneysel ve teorik değerleri

Bileşik	$\sigma_{\text{tm}}$ (10 <sup>-23</sup> cm <sup>2</sup> /molekül)		$\sigma_{\text{ta}}$ (10 <sup>-23</sup> cm <sup>2</sup> /atom)	
	Deneysel	Teorik	Deneysel	Teorik
KF	4,549	4,359	2,274	2,179
KSCN	6,687	6,713	1,671	1,678
K <sub>2</sub> CO <sub>3</sub>	9,068	9,378	1,511	1,563
K <sub>2</sub> S <sub>2</sub> O <sub>7</sub>	16,484	15,441	1,498	1,403
KNO <sub>3</sub>	5,559	5,702	1,111	1,140
KHSO <sub>4</sub>	6,907	8,029	0,986	1,147
KAl(SO <sub>4</sub> ) <sub>2</sub> .12H <sub>2</sub> O	23,396	20,874	0,487	0,434

**Tablo 4.** Ca bileşikleri için Toplam moleküler tesir kesiti, Toplam atomik tesir kesitinin deneysel ve teorik değerleri

Bileşik	$\sigma_{\text{tm}}$ (10 <sup>-23</sup> cm <sup>2</sup> /molekül)		$\sigma_{\text{ta}}$ (10 <sup>-23</sup> cm <sup>2</sup> /atom)	
	Deneysel	Teorik	Deneysel	Teorik
CaCl <sub>2</sub> .H <sub>2</sub> O	14,461	10,330	2,410	1,721
CaF <sub>2</sub>	4,265	5,675	1,421	1,891
CaSO <sub>4</sub> .2H <sub>2</sub> O	8,448	9,918	0,704	0,826

<chem>Ca(OH)2</chem>	3,350	5,584	0,670	1,116
<chem>Ca(PH2O2)2</chem>	7,030	10,355	0,639	0,941

**Tablo 5.** K bileşigine ait teorik ve deneysel Toplam elektronik tesir kesiti ve Etkin elektron yoğunluğunun deneysel ve teorik değerleri

Bileşik	$\sigma_{te}$ ( $10^{-23} \text{ cm}^2/\text{elektron}$ )		$N_{eff}$ ( $10^{+23} \text{ elektron/gram}$ )	
	Deneysel	Teorik	Deneysel	Teorik
<chem>KNO3</chem>	0,166	0,166	1,985	2,036
<chem>KF</chem>	0,132	0,132	3,556	3,408
<chem>KSCN</chem>	0,113	0,113	3,656	3,670
<chem>K2CO3</chem>	0,107	0,107	3,679	3,805
<chem>K2S2O7</chem>	0,101	0,101	3,858	3,609
<chem>KHSO4</chem>	0,091	0,091	3,323	3,862
<chem>KAl(SO4)2.12H2O</chem>	0,067	0,067	4,401	3,927

**Tablo 6.** Ca bileşigine ait teorik ve deneysel Toplam elektronik tesir kesiti ve Etkin elektron yoğunluğunun deneysel ve teorik değerleri

Bileşik	$\sigma_{te}$ ( $10^{-23} \text{ cm}^2/\text{elektron}$ )		$N_{eff}$ ( $10^{+23} \text{ elektron/gram}$ )	
	Deneysel	Teorik	Deneysel	Teorik
<chem>CaSO4.2H2O</chem>	0,080	0,080	3,692	4,335
<chem>Ca(OH)2</chem>	0,091	0,091	2,965	4,942
<chem>Ca(PH2O2)2</chem>	0,085	0,085	2,916	4,295
<chem>CaF2</chem>	0,119	0,119	2,754	3,664
<chem>CaCl2.H2O</chem>	1,217	1,217	0,554	0,396

Tesir kesiti sonucunda gözlenen deneysel ve teorik değerlerdeki farklılıklar hata sınırları içerisinde uyumlu olmasına rağmen bazı değerlerde sapmalar gözlenmiştir. Bu sapmalar karışım kuralı kullanılırken molekül içi etkileşimlerin yok sayılması olduğu varsayılmaktadır.

Elektronik konfigürasyonu Potasyum  $3p^6 4s^1$ , Kalsiyum  $3p^6 4s^2$  olan K ve Ca elementlerinin bileşiklerinde kütle yayılma katsayısı arttıkça toplam atomik tesir kesitinde ve etkin atom numarası değerlerinde genellikle bir artış gözlenmiştir. Bu artış K ve Ca bileşiklerini oluşturan diğer ligand elementlerin atom numaralarının artmasıyla açıklanabilir. K periyodik tabloda 1A grubu elementi alkali metaldir ve Ca, 2A grubu toprak alkali metal özellikleri gösterirler. K bileşikleri için elde edilen sonuçlar saf K için elde edilen sonuç ile karşılaştırıldığında,  $\mu/\rho$  için % 18,37-% 48,70 arasında değerler aldığı gözlenmiştir. Atom numarası 19 olan K elementinin etkin atom numarasındaki minimum ve maksimum değişim sırasıyla % 9,67 ile  $-F$  ve % 64,9 ile  $-NO_3$  ligand grubuna sahip olan bileşiklerde gözlenmiştir. Ca bileşikleri için elde edilen sonuçlar saf Ca için elde edilen sonuç ile karşılaştırıldığında,  $\mu/\rho$  için % 0,74-% 62,92 arasında değerler aldığı gözlenmiştir. Atom numarası 20 olan Ca elementinin bileşiklerinde etkin atom numarasındaki minimum ve maksimum değişim sırasıyla % 40 ile  $-F_2$  ve % 90 ile  $-Cl_2.H_2O$  ligand grubuna sahip olan bileşiklerde gözlenmiştir. Ca elementinin bileşikleri arasında en fazla değişim halojenlerle yaptığı bileşiklerde gözlenmiştir. Bunun sebebi, halojenlerin atom numarasının artmasıyla Ca elementinin dış tabaka elektronlarının halojenin coulomb alanından daha fazla etkilenmesinden dolayı olduğu düşünülmektedir.

Bileşigi oluşturan elementlerin atomik ağırlığının artmasıyla bileşigin  $Z_{eff}$  değerinde bir artış olduğu gözlemlendi. Etkin atom numarasına bağlı olarak elektron yoğunluğunun değerleri de bileşigi oluşturan elementlerin atom numarasına bağlıdır. Genel olarak küçük atom numaralı elementlerden oluşan bileşiklerin etkin elektron yoğunluğunun daha küçük değerler aldığı gözlemlenmiştir.

Bileşiklerin kütle zayıflatma katsayısı arttıkça Kerma değerinde de bir artış olduğu gözlemlenmiştir. K bileşikleri için elde edilen sonuçlar saf K için elde edilen sonuç ile karşılaştırıldığında, Kerma için % 18,40%- 48,73 arasında değiştiği gözlenmiştir. Ca bileşikleri için elde edilen sonuç saf Ca için elde edilen sonuçlar ile karşılaştırıldığında, Kerma için % 0,78%- 62,91 arasında değerler aldığı gözlenmiştir.

Bileşiklerin kütle zayıflatma katsayılarının teorik hesaplamalarında kullanılan karışım kuralı, molekülü oluşturan atomlar arasındaki kimyasal etkileşimleri göz arı eder. Molekül içerisindeki atomlar birbirlerinden bağımsız değil, onlarla etkileşim içersindedirler. Dolayısıyla bağımsız atomlara ait kütle zayıflatma katsayısı ile bilesiğe ait molekül içerisindeki atomların kütle zayıflatma katsayısı değerleri arasında farklılık olması beklenen bir sonuctur. Deneyler sonucunda elde edilen kütle zayıflatma katsayısı ile karışım kuralı kullanılarak elde edilen teorik kütle zayıflatma katsayısı arasındaki farklılığın sebebi karışım kuralının kimyasal etkileşmeleri göz arı etmesinden kaynaklı olabilir. Bu durumda çalışmamızdaki deneysel sonuçlarla teorik sonuçlar arasındaki farklılıklar açıklayan bir durumdur. Aynı zamanda tablolar incelendiğinde 59,543 keV enerjide elde edilen deneysel ve teorik kütle zayıflatma katsayısı değerleri arasındaki farkın çoklu atom içeren bileşiklerde genellikle daha fazla olduğu tespit edilmiştir. Bileşiği oluşturan elementlerin sayısı arttıkça kütle zayıflatma katsayısındaki teorik ve deneysel sonuçlardaki farkın arttığı gözlenmektedir. Bileşiği oluşturan merkez atomun atom numarasının artması ile moleküller ve atomik tesir kesitlerinde genellikle artış gözlenmiştir. Elde edilen veriler analiz edildiğinde bilesik içindeki element sayısının artmasıyla deneysel toplam atomik tesir kesitinin, toplam elektronik tesir kesitinin ve etkin atom numarasının sayısal olarak azalma gösterdiği, buna karşın etkin elektron yoğunluğunun artışı gösterdiği gözlenmiştir. Aynı zamanda bilesik içindeki element sayısının azalması etkin atom numarasında artıya, etkin elektron yoğunlığında azalşa sebep olduğu düşünülmektedir.

## **IV. SONUÇ**

K ve Ca elementlerine ait bilesiklerinin kütle zayıflatma katsayı değerlerinin merkez atomun atom numarasının büyümesiyle artış gösterdiği gözlemlenmiştir. Bileşikler üzerinde kimyasal etki bilesiği oluşturan elementlerin valans elektron yapılarında meydana gelen değişimden dolayı olur. Kimyasal etkiler, bilesiğin kimyasal bağının durumuna bağlı olarak ve valans elektronlarına göre yorumlanmaktadır. Maddenin moleküller bağı, kimyasal ve kristal yapısı gama ışını zayıflatma ihtimallerini etkiler. Atomların elektronları kendine doğru çekme gücü elektronegatiflik olarak tanımlanır. Elektronegatiflik, bir atomun bilesik yapma isteğine ait bir özellikleştir. Yüksek enerjili ışın etkisi ile tüm bu büyüklüklerde bazı değişimler meydana geldiği düşünülmektedir.

K ve Ca bilesiklerin kütle zayıflatma katsayı  $\mu/\rho$ , moleküller tesir kesiti  $\sigma_{tm}$ , atomik tesir kesiti  $\sigma_{ta}$ , elektronik tesir kesiti  $\sigma_{te}$ , etkin atom numarasının  $Z_{eff}$ , etkin elektron yoğunluğu  $N_{eff}$ , Kerma (K) parametrelerinin tip alanında, endüstride, eczacılık alanında, ziraai olarak, koruyucu tip, gama ışını fluoresans çalışmaları ve tomografi uygulamalarında kullanımlarından dolayı bu parametrelerin teorik sonuçlarının yanı sıra uygulamalı olarak deneysel değerlerinin tespit edilmesi de önemlidir. Bu çalışma bundan sonraki araştırmacılarla referans teşkil eden bir çalışma niteliğine sahip olmasından dolayı bu makalede çalışılan bilesiklerden elde edilen değerler daha sonra yapılacak olan çalışmalarda referans olarak kullanılabilir.

## **V. KAYNAKLAR**

- [1] E. Dellow.“Dose determination at keV X-ray qualities using different protocols”, Yüksek Lisans Tezi. Tıbbi Fizik Programı, Tıbbi Radyasyon Fiziği Klinik Bilimleri, Lund University, 2008.

- [2] V. Shivaramu, R. Kumar, L. Rijasekaran ve N. Ramamurthy, “Effective atomic numbers for photon energy absorption of some low-Z substances of dosimetric interest”, *Radiation Physics and Chemistry*, c. 62, ss. 371-377, 2001.
- [3] N. Kanematsu, T. İnaniwa ve Y. Koba, “Relationship between electron density and effective densities of body tissues for stopping, scattering and nuclear interactions of proton and ion beams”, *National Institute of Radiological Sciences, Medical Physics*, c. 39, s. 2, ss. 1016-1020, 2012.
- [4] J. Seco ve P. M. Evans, “Assessing the effect of electron density in photon dose calculations”, *Medical Physics*, c. 33, ss. 540, 2006.
- [5] I. Han ve L. Demir, “Determination of mass attenuation coefficients, effective atomic and electron numbers for Cr, Fe and Ni alloys at different energies”, *Nuclear Instruments and Methods in Physics Research Section B.*, c. 267, ss. 3-8, 2009.
- [6] G. F. Knoll, “*Radiation Detection and Measurement*,” University of Michigan, John Wiley & Sons, Inc. New York, 2002, ss. 830.
- [7] J. H. Hubbell, “Photon mass attenuation and energy-absorption coefficients from 1 keV to 20 MeV” , *International Journal of Applied Radiations and Isotopes*, c. 33, ss. 1269-1290, 1982.
- [8] J. H. Hubbell ve S. M. Seltzer, “Tables of X-ray mass attenuation coefficients and mass energy-absorption coefficients 1 keV to 20 MeV for elements Z=1 to 92 and 48 additional substances of dosimetric interest”, *National Institute of Standards and Physics Laboratory, NISTIR*, ss. 5632, 1995.
- [9] L. Gerward, N. Guilbert, K. B. Jensen ve H. Levring, “X-ray absorption in matter Reengineering XCOM”, *Radiation Physics and Chemistry*, c. 60, ss. 23–24, 2001.
- [10] C. T. Chantler, “Theoretical form factor, attenuation and scattering tabulation for Z=1-92 from E=1-10 eV to E=0.4-1.0 MeV,” *J. Phys. Chem.*, c. 24, ss. 71-643, 1995.
- [11] J. H. Hubbell, “Review of photon interaction cross section data in the medical and biological context,” *Physics in Medicine & Biology*, c. 44, 1999.
- [12] G. J. Hine, “The effective atomic numbers of materials for various gamma interactions, Secondary electron emission and effective atomic numbers,” *Physical Review*, c. 85, ss. 725-737, 1952.
- [13] V. Manjunathaguru ve T. K. Umesh, “Effective atomic numbers and electron densities of some biologically important compounds containing H, C, N and O in the energy range 145-1330 keV”, *Journal of Physics B: Atomic, Molecular and Optical Physics*, c. 39, s. 18, ss. 3969-3981, 2006.
- [14] U. Çevik, E. Bacaksız, N. Damla ve A. Çelik, “Effective atomic numbers and electron densities for CdSe and CdTe semiconductors”, *Radiation Measurements*, c. 43, s. 8, ss. 1437-1442, 2008.
- [15] M. Kurudirek, M. Büyükyıldız ve Y. Özdemir, “Effective atomic number study of various alloys for total photon interaction in the energy region of 1 keV-100 GeV”, *Nuclear Instruments and Methods in Physics Research Section A: Accelerators, Spectrometers, Detectors and Associated*. c. 613, s. 2, ss. 251-256, 2010.
- [16] B. Rudraswamy, N. Dhananjaya ve H. C. Manjunatha, “Measurement of absorbed dose rate of gamma radiation for lead compounds”, *Nuclear Instruments and Methods in Physics Research Section A: Accelerators, Spectrometers, Detectors and Associated Equipment*, c. 619, s. 1-3, ss. 171-173, 2010.

- [17] M. Kurudirek, "Bazı çoklu element yapıdaki maddelerin foton etkileşimi, foton enerji soğurması, foton kuvvetlendirme faktörü ve hızlı nötron azaltma tesir kesitleri açısından incelenmesi," Doktora tezi, Fizik, Fen BilimleriEnstitüsü, Atatürk Üniversitesi Erzurum, Türkiye, 2011.
- [18] H. C. Manjunatha ve B. Rudraswamy, "Study of effective atomic number and electron density for tissues from human organs in the energy range of 1 keV-100 GeV", *Health Physics*, c. 104, s. 2, ss. 158-162, 2013.
- [19] I. Han, M. Aygün, L. Demir ve Y. Şahin, "Determination of effective atomic numbers for 3d transition metal alloys with a new semi-empirical approach," *Annals of Nuclear Energy*, c. 39, s. 1, ss. 56-61, 2012.
- [20] K. S. Mann, J. Singla, V. Kumar ve G. S. Sidhu, "Investigation of mass attenuation coefficients and exposure building factors of some low-Z building materials," *Annals of Nuclear Energy*, c. 4, ss. 157-166, 2012.
- [21] M. L. Taylor, R. L. Smith, F. Dossing ve R. D. Franich, "Robust calculation of effective atomic numbers:the auto-Zeff software", *Medical Physics*, c. 39, s. 4, ss. 1769-1778, 2012.
- [22] N. Küçük, M. Çakır ve N. A. Isıtman, "Mass attenuation coefficients, effective atomic numbers and effective electron densities for some polymers", *Radiation Protection Dosimetry*, c. 153, s. 1, ss. 127-134, 2013.
- [23] A. Un ve F. Demir, "Determination of mass attenuation coefficients, effective atomic numbers and effective electron numbers for heavy-weight and normal weight concretes", *Applied Radiation and Isotopes*, c. 80, ss. 73-77, 2013.
- [24] Y. Zheng, X. K. Li, Y. Wang ve L. Cai, "The role of zinc, copper and iron in the pathogenesis of diabetes and diabetic complications: Therapeutic effects by chelators", *Hemoglobin*, c. 32, s. 1-2, ss. 135-145, 2008.
- [25] P. J. Parsons ve F. Barbosa, "Atomic spectrometry and trends in clinical laboratory medicine", *Spectrochimica Acta Part B: Atomic Spectroscopy*, c. 62, s. 9, ss. 92-1003, 2007.
- [26] F. D. Jackson ve D. J. Hawkes, "X-Ray attenuation coefficients of elements and mixtures", *Physics Reports*, c. 70, s. 3, ss. 169-233, 1981.
- [27] M. P. Singh, B. S. Sandhu ve B. Singh "Measurement of effective atomic number of composite materials using scattering of  $\gamma$ -rays", *Nuclear Instruments and Methods in Physics Research, A*, c.580, ss. 50-53, 2007.
- [28] K. Singh, H. Singh, V. Sharma, R. Nathuram, A. Khanna, R. Kumar, S. S. Bhatti ve H. S. Sahota, "Gamma-ray attenuation coefficients in bismuth borate glasses," *Nuclear Instruments and Methods in Physics Research Section B*, c. 194, ss. 1-6, 2002.
- [29] S. R. Manohara, S. M. Hanagodimath, K. S. Thind ve L. Gerward, "On the effective atomic number: a comprehensive set of formulas for all types of materials" *Nucl. Instrum. Methods Phys. Res. B*, c. 266, ss. 3906–3912, 2008.
- [30] V. P. Singh, M .E. Medhat, N. M. Badiger ve A. Z. M. S. Rahman, "Radiation shielding effectiveness of newly developed superconductors," *Radiation Physics and Chemistry*, c. 106, ss. 175-183, 2015.